

УДК 548.4

КРИСТАЛЛОГРАФИЯ

Л. В. СКОБЕЛЕВА, П. И. НИКИТИЧЕВ, Г. В. КЛЕЩЕВ, А. И. БРЫЗГАЛОВ,  
Л. Н. ЧЕРНЫЙ, Т. Н. КИТАЕВА

**ПАССИВНЫЕ ГРАНИ И ДЕФЕКТНЫЕ ПОВЕРХНОСТИ  
КРИСТАЛЛОВ**

(Представлено академиком Г. В. Курдюмовым 14 XII 1970)

Известно, что грани гексагональной призмы  $t$  (1010) кристаллов кварца являются пассивными, нарастание по ним практически не происходит (<sup>1, 2</sup>); у кристаллов корунда, выращенных гидротермальным методом, пассивные грани пинакоида  $C$  (0001) (<sup>3</sup>). В настоящем сообщении показывается, что пассивные грани могут играть существенную роль в формировании кристалла и быть ответственными за образование в них дефектных поверхностей.

Исследовалось строение искусственных кристаллов кварца (п. к. к.), выращенных на затравочных пластинах, поверхности среза которых (несингулярные грани) образовывали различные углы  $\alpha$  с гранью тригональной призмы  $X$  (1120). Изучаемые образцы вырезались из сектора роста этих несингулярных граней нарощенного кристалла. Для сравнения изучалось строение кристаллов корунда, выращенных гидротермальным методом (<sup>4</sup>). В качестве затравки использовался кристалл, имеющий цилиндрическую форму, выращенный по методу Вернейля. Геометрическая ось его направлена перпендикулярно [0001].

Применялись методы рентгеновской топографии (<sup>5-7</sup>) и травления гидротермальным раствором при высоких температурах и давлениях (<sup>8, 9</sup>).

Результаты работы сводятся к следующему. 1. П. к. к. в секторах роста несингулярных граней имеют пластинчатое строение (рис. 1а). Пластиинки параллельны пассивной грани  $t$ , образующей цаименший угол с данной несингулярной поверхностью, и разделены границами, которые параллельны указанной пассивной грани. Эти границы представляют собой дефектные поверхности. Они, как и дислокации, являются существенным элементом субструктурь.

2. Образование таких дефектных поверхностей связано с особенностями строения несингулярных граней, на которых нарастает кристалл. Известно (<sup>10</sup>), что несингулярная грань в контакте с раствором приобретает ступенчатое строение. На рис. 1б видно, что ступени особенно отчетливы на границе кристалл — затравка. Одна из сторон каждой ступени в нашем случае параллельна пассивной грани  $t$ , и в процессе нарастания кристалла она, разрастаясь в тангенциальном направлении, образует дефектную поверхность. Кристалл оказывается разделенным многочисленными дефектными поверхностями на пластины.

3. Каждая такая пластина имеет характерную структуру: она состоит из отдельных ламелей, границы которых параллельны грани тригональной призмы  $X$ .

4. В секторах роста рассматриваемых несингулярных граней обнаруживаются дислокации (рис. 2). На топограммах в рефлексе (0003) выявляются дислокации, вектор Бюргерса которых направлен по оси [0001]. Подтверждением тому является отчетливый дифракционный контраст в рефлексе (0003) и полное отсутствие его в рефлексах (1010) и (1120).

Линии таких дислокаций почти параллельны кристаллографической оси  $a$  (угол с осью  $a$  не превышает  $7^\circ$ ).

5. В рефлексе  $(11\bar{2}0)$  обнаруживаются дислокации другого типа, лежащие в плоскостях, параллельных дефектным поверхностям. Однако линии дислокаций образуют с осью  $a$  заметно больший угол ( $\sim 20^\circ$ ). Дислокации этого типа обнаруживаются в рефлексе  $(10\bar{1}0)$ , а в рефлексе  $(0003)$  перестают обнаруживаться. По-видимому, вектор Бюргерса дисло-

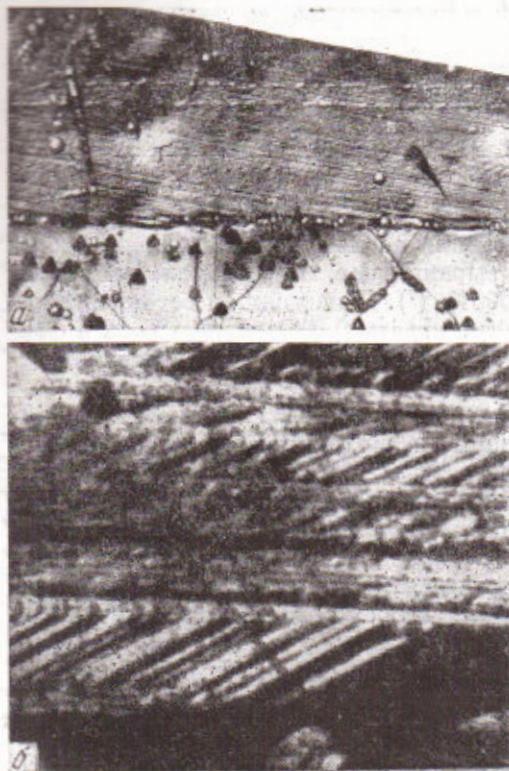


Рис. 1

Рис. 1. Строение и.к.к. в секторе роста несферуллярной грани.  $a = 15^\circ$ , гидротермальное травление, срез  $(0001)$ .  $a$  — пластинчатое строение и.к.к., дефектные поверхности и ступени на границе кристалла — затравка,  $10 \times$ ;  $b$  — ламеллярное строение пластин, ямки травления на их границах,  $400 \times$

Рис. 2. Дислокации и.к.к. Срез  $(10\bar{1}0)$ ,  $a$  — рефлекс  $(0003)$ ;  $b$  —  $(10\bar{1}0)$ ;  $70 \times$

каций этого типа параллелен кристаллографической оси  $a$ , т. е. направлен по линии дислокации. Такое соотношение ориентировок оси и вектора Бюргерса указывает, что рассматриваемые дислокации являются винтовыми. Они распределяются по кристаллу неравномерно, в некоторых областях их концентрация настолько велика, что отдельные дислокации выявляются с трудом, а весь этот участок изображается на топограмме в виде широкой полосы с почти однородным потемнением.

6. Дислокации первого типа являются краевыми и, по-видимому, лежат в дефектных поверхностях параллельных медленно растущей грани  $m$ . Выходы этих дислокаций на поверхность кристалла выявляются в виде ямок травления (рис. 1б).

Дислокации второго типа формируются не в дефектных поверхностях, а внутри пластин. Они не перпендикулярны фронту роста кристалла и образуют с ним угол  $\alpha$ , величина которого зависит от ориентировки несферуллярной грани.

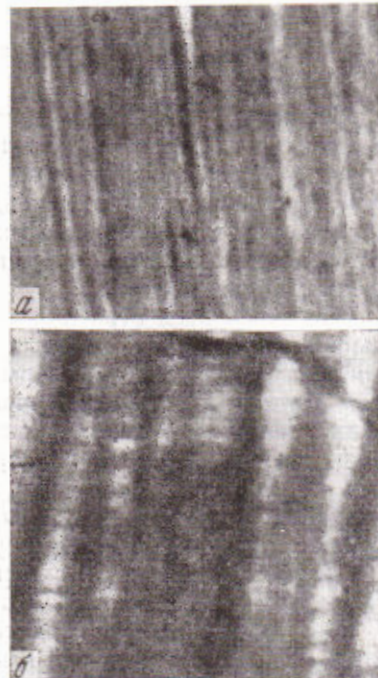


Рис. 2

гулярной поверхности. Так у изученных нами кристаллов угол  $\alpha \sim 20-25^\circ$ . Не исключено, что нарастание пластин в секторе роста несингулярных поверхностей происходит за счет этих винтовых дислокаций, однако убедительных данных в пользу такого предположения пока нет.

7. Аналогичные дефектные поверхности обнаруживаются у и.к.к., выращенных на затравочных пластинах, составляющих некоторый угол с гранью  $(10\bar{1}1)$  (рис. 3). В этом случае дефектные поверхности параллельны другой медленно растущей грани  $R$  ( $0111$ ).

8. Дефектные поверхности выявляются и у природных кристаллов кварца (рис. 2 в ("')). На стадии регенерации равновесной формы его



Рис. 3. Дефектные поверхности и.к.к., параллельные грани  $(0111)$ . Срез  $(11\bar{2}0)$ , рефлекс  $(0111)$ ;  $70\times$



Рис. 4. Дефектные поверхности, параллельные грани пинакоида в секторе роста  $m$  (кристалл корунда). В центре — затравка, секторы роста грани  $m$ , дефектные поверхности выявляются в виде темных линий;  $10\times$

нарастание происходит по несингулярной грани и при этом в секторах роста ромбоэдров формируются многочисленные дефектные поверхности.

9. При нарастании кристалла корунда на затравке цилиндрической формы сначала происходит регенерация стационарной формы нарастанием по граням гексагональной призмы  $m$ . В регенерационном секторе роста формируются многочисленные дефектные поверхности (рис. 4), параллельные пассивной грани пинакоида ( $0001$ ). Они, как и в случае кристаллов кварца, начинаются от поверхности затравки.

Таким образом, при нарастании кристаллов по несингулярным граням в них образуются многочисленные дефектные поверхности, параллельные медленно растущим (либо пассивным) граням. Зародышами этих поверхностей являются ступеньки на несингулярной грани.

Челябинский педагогический  
институт

Поступило  
10 XII 1970

## ЦИТИРОВАННАЯ ЛИТЕРАТУРА

- <sup>1</sup> А. Н. Брызгалов, Г. В. Клещев, Зап. Всесоюзн. мин. общ., 99, 106 (1969).  
<sup>2</sup> К. Ф. Кашкуров, В. Т. Ушаковский и др., Там же, 96, 435 (1967). <sup>3</sup> П. И. Никитичев, В. Г. Ноздрина, Л. И. Цинобер, Тр. Всесоюзн. п.-и. инст. пьезоматериалов, 4 (1960). <sup>4</sup> П. И. Никитичев, Г. В. Клещев и др., Зап. Всесоюзн. мин. общ., 97, 376 (1968). <sup>5</sup> Сборн. Прямые методы исследования дефектов в кристаллах, под ред. А. М. Елистратова, М., 1965. <sup>6</sup> И. В. Кабанович, А. Г. Смагин и др., Изв. высш. учебн. завед., физика, 1, 158 (1970). <sup>7</sup> И. В. Кабанович, Л. Н. Черный и др., Мин. сборн. Львовск. унив., 4, 57 (1966). <sup>8</sup> И. Шмид, Сборн. Рост кристаллов, 6, «Наука», 1965, стр. 58. <sup>9</sup> Г. В. Клещев, А. Н. Брызгалов и др., Неорганические материалы, 4, 362 (1968). <sup>10</sup> А. А. Чернов, УФН, 73, 277 (1961). <sup>11</sup> А. Н. Брызгалов, Л. Н. Черный и др., Сборн. Вопросы оптики и молекулярной спектроскопии, Челябинск, 1968, стр. 15.